

# Attention Models: da motivação às variantes modernas

Intuição geométrica, formulação matemática e aplicações

**Rodrigo Petrus, Felipe Grael e Vivian Carvalho**

19 de agosto de 2025

# Table of Contents

## 1 Motivação e Histórico

- ▶ **Motivação e Histórico**
- ▶ Transformers
- ▶ Embeddings & Interpretações
- ▶ Treino & Hiperparâmetros
- ▶ Séries Temporais
- ▶ Language Models
- ▶ Vision Transformer
- ▶ Graph Attention
- ▶ Referências Bibliográficas

# Redes Neurais Recorrentes

## 1 Motivação e Histórico

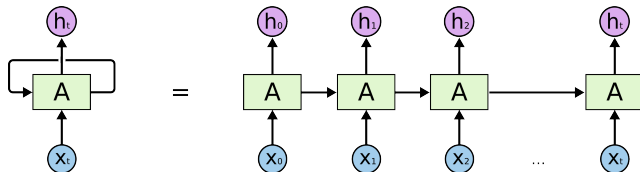


Figura: Redes Neurais Recorrentes <sup>1</sup>

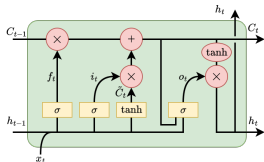
- Bem adaptadas para dados sequenciais como séries temporais e texto
- Diferentes tipos de modelos: LSTM, GRU
- Diferentes arquiteturas: simples, bidirecional, encoder-decoder

<sup>1</sup>Figura de Christopher Olah

# Tipos de camadas RNN

## 1 Motivação e Histórico

### LSTM

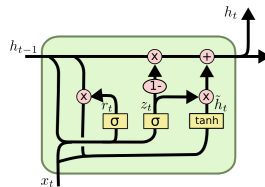


$$f_t = \sigma(W_f[h_{t-1}, x_t] + b_f), \quad i_t = \sigma(W_i[h_{t-1}, x_t] + b_i),$$

$$\tilde{C}_t = \tanh(W_c[h_{t-1}, x_t] + b_c), \quad C_t = f_t \odot C_{t-1} + i_t \odot \tilde{C}_t,$$

$$o_t = \sigma(W_o[h_{t-1}, x_t] + b_o), \quad h_t = o_t \odot \tanh(C_t)$$

### GRU



$$z_t = \sigma(W_z \cdot [h_{t-1}, x_t])$$

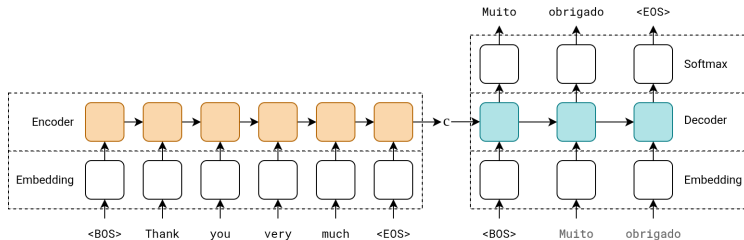
$$r_t = \sigma(W_r \cdot [h_{t-1}, x_t])$$

$$\tilde{h}_t = \tanh(W \cdot [r_t \odot h_{t-1}, x_t])$$

$$h_t = (1 - z_t) \odot h_{t-1} + z_t \odot \tilde{h}_t$$

# Arquitetura Seq2Seq para Tradução

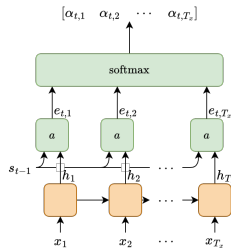
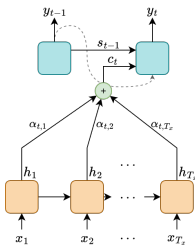
## 1 Motivação e Histórico



- **Gargalo:** toda a informação comprimida em  $c = h_n$ .
  - Processamento **sequencial**  $\Rightarrow$  baixa paralelização.
  - **Dependências longas** ainda são difíceis (mesmo com portas).
  - **Gargalo do contexto** (vetor único) degrada qualidade em frases longas.

# Atenção aditiva (Bahdanau [1])

## 1 Motivação e Histórico



- Cada etapa do decoder recebe um vetor de contexto  $c_i$ .
- O vetor de contexto é uma combinação ponderada dos estados do encoder.

- Escore de alinhamento avalia o quanto a palavra  $x_j$  é relevante para prever  $y_i$ .
- Calculado por uma rede neural feedforward.
- Resolve o gargalo de contexto e permit frases mais longas.

# Atenção multiplicativa [2]

## 1 Motivação e Histórico

### Três variantes de scoring:

$$e_{ij} = v^\top \tanh(W[s_j; h_i]) \quad (\text{concat, similar ao Bahdanau})$$

$$e_{ij} = s_j^\top W h_i \quad (\text{general})$$

$$e_{ij} = s_j^\top h_i \quad (\text{dot})$$

- $s_j$ : query  $\rightarrow$  estado oculto do decoder.
- $h_i$ : key/value  $\rightarrow$  estado do encoder.
- **Concat**: aproxima-se da atenção aditiva de Bahdanau.
- **General**: bilinear, mais expressivo (aprende  $W$ ).
- **Dot**: mais simples e rápido (nenhum parâmetro extra).

**Nota:** Podemos reinterpretar em termos modernos como  $Q = s_j$ ,  $K = h_i$ ,  $V = h_i$ .

# Global vs Local Attention [2]

## 1 Motivação e Histórico

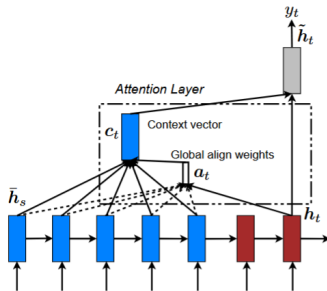


Figure 2: **Global attentional model** – at each time step  $t$ , the model infers a *variable-length* alignment weight vector  $a_t$  based on the current target state  $h_t$  and all source states  $\bar{h}_s$ . A global context vector  $c_t$  is then computed as the weighted average, according to  $a_t$ , over all the source states.

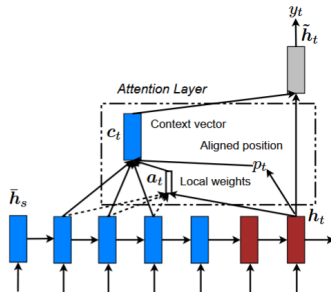


Figure 3: **Local attention model** – the model first predicts a single aligned position  $p_t$  for the current target word. A window centered around the source position  $p_t$  is then used to compute a context vector  $c_t$ , a weighted average of the source hidden states in the window. The weights  $a_t$  are inferred from the current target state  $h_t$  and those source states  $\bar{h}_s$  in the window.



# Self-Attention: dependências em paralelo

## 1 Motivação e Histórico

$$\text{Att}(Q, K, V) = \text{softmax}\left(\frac{QK^\top}{\sqrt{d_k}}\right) V, \quad Q = XW_Q, \quad K = XW_K, \quad V = XW_V.$$

- Calcula relações *entre todos os tokens* da mesma sequência, **em paralelo**.
- Multi-head:

$$\text{MHA}(X) = \text{Concat}(H_1, \dots, H_h) W_O, \quad H_r = \text{softmax}\left(\frac{Q_r K_r^\top}{\sqrt{d_k}}\right) V_r.$$

- Comparativo: RNN/LSTM exige  $n$  passos sequenciais; self-attention faz um passo paralelo com custo  $\mathcal{O}(n^2)$ .

# Arquitetura pré-transformer

## 1 Motivação e Histórico

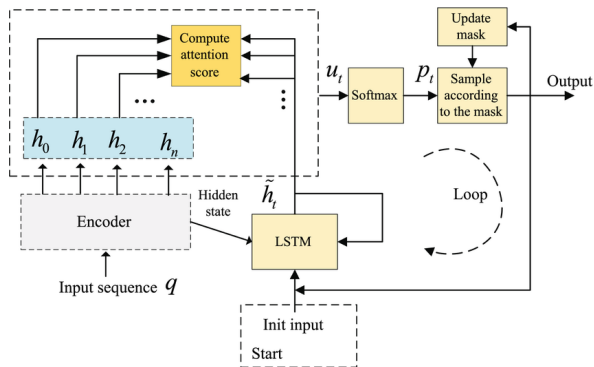


Figura: Exemplo de arquitetura pré-transformer (aditiva) [3]

# Table of Contents

## 2 Transformers

- ▶ Motivação e Histórico
- ▶ **Transformers**
- ▶ Embeddings & Interpretações
- ▶ Treino & Hiperparâmetros
- ▶ Séries Temporais
- ▶ Language Models
- ▶ Vision Transformer
- ▶ Graph Attention
- ▶ Referências Bibliográficas

# Attention Is All You Need [4]: nascendo o Transformer

## 2 Transformers

- **Remove** completamente a recorrência (sem LSTM).
- **Positional encodings** preservam ordem:

$$PE_{(pos, 2i)} = \sin\left(\frac{pos}{10000^{2i/d_{\text{model}}}}\right), \quad PE_{(pos, 2i+1)} = \cos\left(\frac{pos}{10000^{2i/d_{\text{model}}}}\right).$$

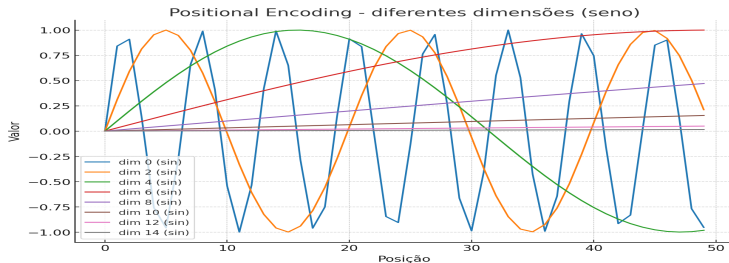


Figura: Exemplo de codificação posicional senoidal [4]

# Bloco Transformer e arquitetura

## 2 Transformers

- Cada **bloco Transformer** (pré-norm, forma comum):

$$Y = X + \text{MHA}(\text{LN}(X)),$$

$$Z = Y + \text{FFN}(\text{LN}(Y)), \quad \text{FFN}(u) = W_2 \phi(W_1 u + b_1) + b_2,$$

- Empilha-se vários blocos de atenção+FFN  $\Rightarrow$  **arquitetura Transformer**.
- **Máscara causal** (para LMs) impede olhar o futuro:

$$\text{softmax}\left(\frac{QK^\top}{\sqrt{d_k}} + M\right), \quad M_{ij} = \begin{cases} 0, & j \leq i \\ -\infty, & j > i \end{cases}$$

# Arquiteturas Transformer e Aplicações

## 2 Transformers

### Encoder-Decoder

(Transformer original, 2017)

- Tradução automática
- Sumarização
- Diálogo
- Captioning

### Encoder-only

(BERT, RoBERTa, DistilBERT)

- Classificação de texto
- NER (entidades)
- QA (extração de trechos)
- Análise semântica

### Decoder-only

(GPT, LLaMA, etc.)

- Modelos de linguagem
- Geração de texto
- Completamento de prompts
- Story generation

# Arquiteturas Transformer: encoder e decoder [4]

## 2 Transformers

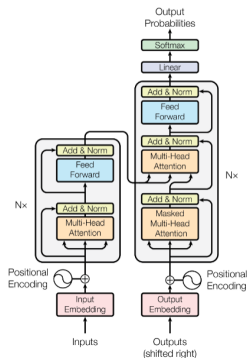


Figura: Transformer Encoder e Decoder

### Multi-Head Attention

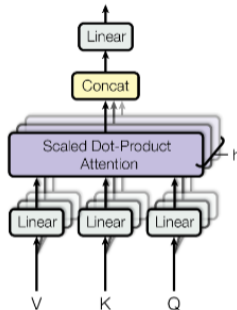


Figura: Multi-Head Attention

### Scaled Dot-Product Attention

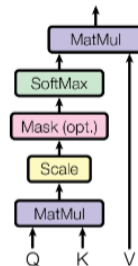


Figura: Multi-Head Attention

# Resumo da evolução dos modelos

## 2 Transformers

### Linha do tempo (síntese):

- LSTM encoder-decoder: contexto único  $c = h_n$  (gargalo).
- LSTM + **atenção** (Bahdanau/Luong): alívio do gargalo.
- **Self-attention**: dependências longas em paralelo.
- **Transformer**: atenção + posição + FFN; várias camadas empilhadas; sem LSTM.



# Table of Contents

## 3 Embeddings & Interpretações

- ▶ Motivação e Histórico
- ▶ Transformers
- ▶ **Embeddings & Interpretações**
- ▶ Treino & Hiperparâmetros
- ▶ Séries Temporais
- ▶ Language Models
- ▶ Vision Transformer
- ▶ Graph Attention
- ▶ Referências Bibliográficas

# Word/Subword Embeddings

## 3 Embeddings & Interpretações

- Estáticos (Word2Vec, GloVe) vs. Contextuais (ELMo, BERT)
- Subword (BPE/Unigram) para robustez morfológica
- Análogos em outras modalidades: patches (ViT), time2vec (TS), node2vec (grafos)

# Atenção: projeções e compatibilidade

## 3 Embeddings & Interpretações

- Projeções lineares:**

$$Q = XW_Q, K = XW_K, V = XW_V.$$

- Compatibilidade:**  $e_i = \frac{\langle q, k_i \rangle}{\sqrt{d}}$  (ou cosseno se normalizar).

- Pesos:**

$$\alpha_i = \text{softmax}(e_i) \Rightarrow \alpha_i \geq 0, \sum_i \alpha_i = 1.$$

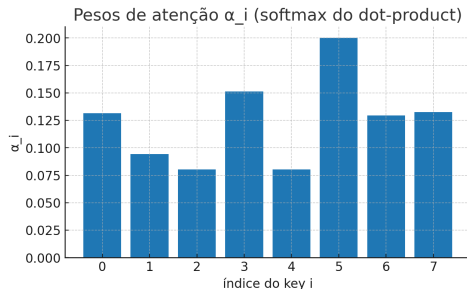
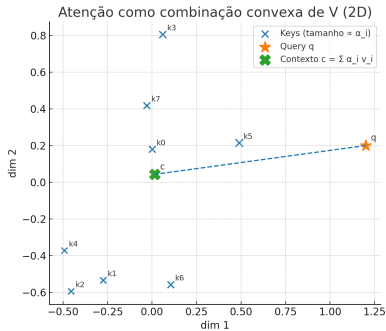


Figura: Pesos  $\alpha_i$  (softmax do dot-product)

# Interpretação Geométrica: contexto = barycenter

## 3 Embeddings & Interpretações

- **Contexto:**  $c = \sum_i \alpha_i v_i \in \text{conv}\{v_i\} \Rightarrow$  combinação *convexa* dos values.
- **Geometria:** níveis de igual peso são hiperplanos ortogonais a  $q$ ; pesos crescem exponencialmente com o alinhamento entre  $q$  e  $k_i$ .



# Multi-head: múltiplas projeções/métricas

## 3 Embeddings & Interpretações

- Cada head aplica  $(W_Q^{(h)}, W_K^{(h)}, W_V^{(h)})$  e induz uma métrica interna distinta:

$$\langle x, y \rangle_h = x^\top W_Q^{(h)} W_K^{(h)\top} y.$$

- Heads diferentes  $\rightarrow$  diferentes pesos  $\alpha^{(h)}$  e contextos  $c^{(h)}$ ; a saída concatena/combina esses subespaços.

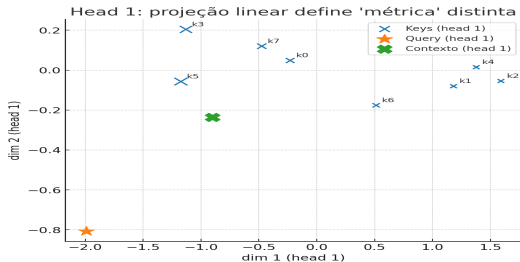


Figura: Head 1

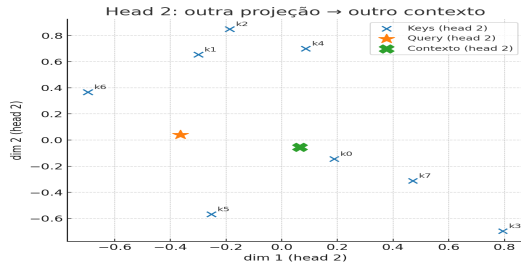


Figura: Head 2

# Interpretação Matemática: Self-Attention

## 3 Embeddings & Interpretações

### Fórmula central (scaled dot-product)

$$\text{Att}(Q, K, V) = \text{softmax}\left(\frac{QK^{\top}}{\sqrt{d_k}}\right) V$$

- Máscara causal/atencional conforme a tarefa
- Complexidade  $\mathcal{O}(n^2)$  em tempo/memória
- Gradientes e saturação da softmax

# Positional Encodings — Absolutos

## 3 Embeddings & Interpretações

- **Senoidais [4]:**

$$PE(pos, 2i) = \sin\left(\frac{pos}{10000^{2i/d}}\right), \quad PE(pos, 2i+1) = \cos\left(\frac{pos}{10000^{2i/d}}\right)$$

- Frequências diferentes em cada dimensão.
- Permitem extrapolação por periodicidade.
- Risco: aliasing (padrões que se repetem em posições distantes).

- **Aprendidos:**

$$z_{pos} = x_{pos} + P_{pos}, \quad P \in \mathbb{R}^{L_{\max} \times d}$$

- Mais flexíveis e adaptados à tarefa.
- **Limite:** não extrapolam para posições  $> L_{\max}$ .

# Positional Encodings — Relativos e Bias

## 3 Embeddings & Interpretações

- Shaw et al. (2018):

$$e_{ij} = q_i^\top (k_j + r_{i-j})$$

ou com bias  $b_{i-j}$ . Codifica **distâncias** em vez de posições absolutas.

- T5 (Raffel et al., 2020):

$$e_{ij} = q_i^\top k_j + B_{\text{bucket}(i-j)}$$

- “Baldes” de distâncias (log-escalados).
- Barato, simples, bom para extrapolação moderada.

- ALiBi (Press et al., 2022):

$$e_{ij} + m_h(i - j)$$

- Inclinação linear por head.
- Suporta janelas muito maiores sem retraining.
- Praticamente custo zero.



# Positional Encodings — RoPE e Impacto Prático

## 3 Embeddings & Interpretações

- **RoPE (Su et al., 2021):** aplica rotação dependente da posição:

$$\tilde{x}_{2i}, \tilde{x}_{2i+1} = \begin{cases} x_{2i} \cos \theta - x_{2i+1} \sin \theta \\ x_{2i} \sin \theta + x_{2i+1} \cos \theta \end{cases}, \quad \theta = \frac{pos}{10000^{2i/d}}$$

- Produto  $q^\top k$  passa a depender de  $(pos_q - pos_k)$ .
- $\Rightarrow$  natural para codificar deslocamentos/ordem relativa.

- **Impacto prático:**

- Absolutos aprendidos: limitados ao  $L_{\max}$ .
- Senoidais: extrapolam mas sofrem com aliasing.
- Relativos (T5, ALiBi, RoPE): melhor estabilidade para contextos longos.

- **Hoje:** ALiBi e RoPE são o padrão em LLMs de longo contexto.

# Table of Contents

## 4 Treino & Hiperparâmetros

- ▶ Motivação e Histórico
- ▶ Transformers
- ▶ Embeddings & Interpretações
- ▶ Treino & Hiperparâmetros**
- ▶ Séries Temporais
- ▶ Language Models
- ▶ Vision Transformer
- ▶ Graph Attention
- ▶ Referências Bibliográficas

# Práticas de Treino

## 4 Treino & Hiperparâmetros

- AdamW, warmup + decaimento; label smoothing quando aplicável
- Regularização: dropout, stochastic depth, weight decay
- AMP/mixed precision, grad clipping, checkpointing
- Dados: curriculum, masking, augmentation (TS/ViT/GAT)

# Hiperparâmetros Essenciais

## 4 Treino & Hiperparâmetros

- Profundidade,  $d_{\text{model}}$ , #heads,  $d_{ff}$ , dropout
- Comprimento de contexto, batch size, *LR schedule*
- Específicos: tokenização (LM), *patch size* (ViT), janela/patch (TS)

# Qual tamanho ideal? (Scaling)

## 4 Treino & Hiperparâmetros

- **Leis de escala [5]:** desempenho cresce com  $\uparrow$  dados, parâmetros e compute, até saturar.
- **Trade-offs:** muitos parâmetros + poucos dados  $\rightarrow$  overfitting; muitos dados + poucos parâmetros  $\rightarrow$  subutilização.
- **Tokens vs. parâmetros:** ideal quando  $\#tokens \approx$  múltiplos de  $\#parâmetros$  [6].
- **Contexto:** janelas maiores ajudam, mas ganhos saturam.
- **Regra prática:** dimensione conforme dataset + compute + budget de inferência.

**Resumo:** não há tamanho ótimo universal — depende do equilíbrio entre dados, parâmetros e recursos disponíveis.

# Table of Contents

## 5 Séries Temporais

- ▶ Motivação e Histórico
- ▶ Transformers
- ▶ Embeddings & Interpretações
- ▶ Treino & Hiperparâmetros
- ▶ **Séries Temporais**
- ▶ Language Models
- ▶ Vision Transformer
- ▶ Graph Attention
- ▶ Referências Bibliográficas

# Atenção em Séries Temporais

## 5 Séries Temporais

- **Codificação temporal:** absolutos/relativos; *Time2Vec*; embeddings de calendário (hora/dia/sazonalidade).
- **Exógenas + cross-attention:** integrar variáveis externas (clima, preços, feriados) à série-alvo.
- **Contextos longos:** *patching* (janelas), sparsity e hashing; ganhos de janelas muito grandes tendem a saturar.
- **Por que atenção:** foca nos trechos relevantes do histórico e alinha padrões não estacionários/irregulares.
- **Tarefas:** previsão (forecasting), imputação (faltantes) e detecção de anomalias.

# Modelos recentes (com código)

## 5 Séries Temporais

- Informer (AAAI'21) — atenção esparsa p/ sequências longas.
- Autoformer (NeurIPS'21) — auto-correlação + decomposição.
- PatchTST (ICLR'23) — *patching* / channel-independent.
- TimesNet (ICLR'23) — modelagem de variação temporal 2D.
- TSDiffusion (2023) - difusão para séries temporais.



# Table of Contents

## 6 Language Models

- ▶ Motivação e Histórico
- ▶ Transformers
- ▶ Embeddings & Interpretações
- ▶ Treino & Hiperparâmetros
- ▶ Séries Temporais
- ▶ **Language Models**
- ▶ Vision Transformer
- ▶ Graph Attention
- ▶ Referências Bibliográficas

# Language Models (LM)

## 6 Language Models

- **Atenção causal** (*masked self-attention*): máscara triangular impede olhar o futuro.
- **Objetivo autoregressivo**: minimizar  $-\sum_t \log p(x_t | x_{<t})$  (*next-token*).
- **Pré-treino** (corpus amplo, tarefa genérica) **vs. fine-tuning** (tarefa/estilo): *instruction tuning* (FLAN), RLHF (InstructGPT).
- **PEFT** (ajuste eficiente): *LoRA*, *Adapters* (congelar base + poucos params).
- **Métricas**: *perplexity* (surpresa média por token) e *downstream* (ex.: SuperGLUE, MMLU).

# Language Models — Implementações (GitHub)

## 6 Language Models

- karpathy/nanoGPT (**2022**) — GPT minimalista
- huggingface/transformers (**2019**) — biblioteca SOTA
- EleutherAI/gpt-neox (**2022**) — treino LLMs em larga escala
- meta-llama/llama (**2023**) — código/pesos Llama
- harvardnlp/annotated-transformer (**2018**) — Transformer anotado
- huggingface/trl (**2020**) — SFT, PPO/DPO, RLHF
- DeepSpeed-Chat (**2023**) — pipeline RLHF
- OpenRLHF/OpenRLHF (**2023**) — RLHF escalável
- huggingface/peft (**2023**) — PEFT (LoRA, QLoRA, etc.)
- adapter-hub/adapters (**2020**) — biblioteca de Adapters
- microsoft/LoRA (**2021**) — implementação LoRA oficial
- google-research/FLAN (**2021**) — dados p/ instruction tuning

# Table of Contents

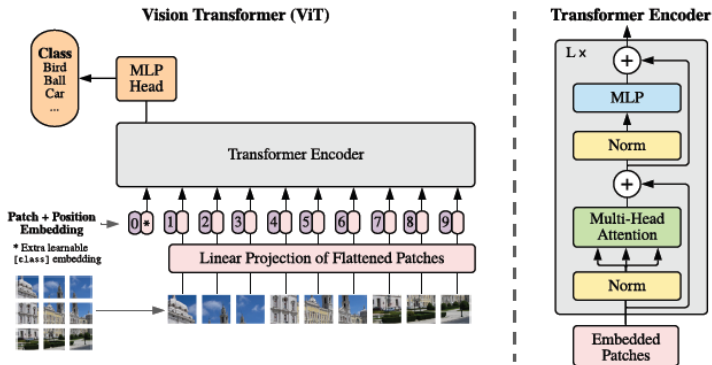
## 7 Vision Transformer

- ▶ Motivação e Histórico
- ▶ Transformers
- ▶ Embeddings & Interpretações
- ▶ Treino & Hiperparâmetros
- ▶ Séries Temporais
- ▶ Language Models
- ▶ **Vision Transformer**
- ▶ Graph Attention
- ▶ Referências Bibliográficas

# Vision Transformer (ViT) — Introdução

## 7 Vision Transformer

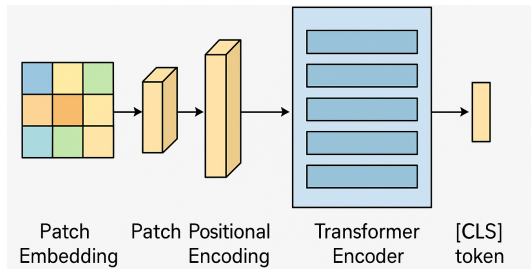
- CNNs dominaram visão computacional por anos (ResNet, EfficientNet, etc.).
- **ViT (Dosovitskiy et al., 2020)**: adapta a atenção para imagens.
- Ideia central: dividir a imagem em **patches** → tokens → atenção global.



# Arquitetura do Vision Transformer

## 7 Vision Transformer

- **Patch Embedding:** cada patch (ex:  $16 \times 16$  pixels) é transformado em vetor.
- **Positional Encoding:** adiciona informação espacial aos tokens.
- **Transformer Encoder:** múltiplas camadas de *multi-head self-attention* + feedforward.
- **[CLS] token:** representa a imagem inteira para tarefas de classificação.



# Resultados do Vision Transformer

## 7 Vision Transformer

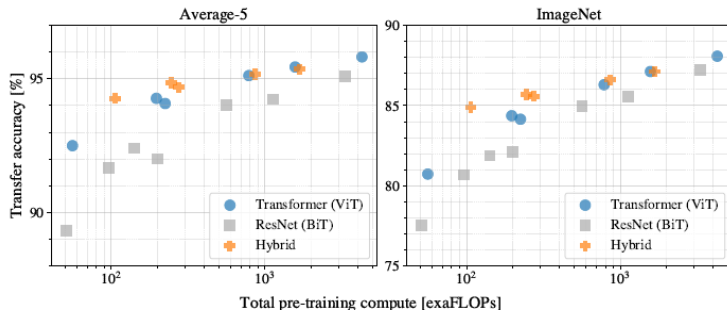
- ViT pré-treinado em **JFT-300M** e **ImageNet-21k** supera CNNs de última geração.
- Comparação em benchmarks populares (ImageNet, CIFAR, Oxford Pets, Flowers, VTAB).
- Uso de **atenção global** traz ganhos em acurácia com menor custo de pré-treinamento que ResNets muito grandes.

	Ours-JFT (ViT-H/14)	Ours-JFT (ViT-L/16)	Ours-I21k (ViT-L/16)	BiT-L (ResNet152x4)	Noisy Student (EfficientNet-L2)
ImageNet	<b>88.55</b> $\pm 0.04$	87.76 $\pm 0.03$	85.30 $\pm 0.02$	87.54 $\pm 0.02$	88.4/88.5*
ImageNet Real	<b>90.72</b> $\pm 0.05$	90.54 $\pm 0.03$	88.62 $\pm 0.05$	90.54	90.55
CIFAR-10	<b>99.50</b> $\pm 0.06$	99.42 $\pm 0.03$	99.15 $\pm 0.03$	99.37 $\pm 0.06$	—
CIFAR-100	<b>94.55</b> $\pm 0.04$	93.90 $\pm 0.05$	93.25 $\pm 0.05$	93.51 $\pm 0.08$	—
Oxford-IIIT Pets	<b>97.56</b> $\pm 0.03$	97.32 $\pm 0.11$	94.67 $\pm 0.15$	96.62 $\pm 0.23$	—
Oxford Flowers-102	99.68 $\pm 0.02$	<b>99.74</b> $\pm 0.00$	99.61 $\pm 0.02$	99.63 $\pm 0.03$	—
VTAB (19 tasks)	<b>77.63</b> $\pm 0.23$	76.28 $\pm 0.46$	72.72 $\pm 0.21$	76.29 $\pm 1.70$	—
TPUv3-core-days	2.5k	0.68k	0.23k	9.9k	12.3k

## Pontos chave

### 7 Vision Transformer

- **Resultados:** ViT supera CNNs em grandes datasets (ex: ImageNet-21k, JFT).
- **Limitações:** precisa de muito dado e poder computacional para treinar do zero.
- **Avanços:** variantes mais leves como DeiT, Swin Transformer e modelos híbridos CNN+ViT.





# Avanços do Vision Transformer

## 7 Vision Transformer

- **DeiT (Data-efficient Image Transformers)** Touvron et al., ICML 2021
  - Treino de ViTs menores com menos dados.
  - Uso de distilação de conhecimento.
- **Swin Transformer (Shifted Windows Transformer)** Liu et al., ICCV 2021
  - Atenção hierárquica em janelas deslizantes.
  - Mais eficiente para imagens grandes, detecção e segmentação.
- **Modelos Híbridos CNN+ViT** d'Ascoli et al., ICML 2021 (*ConViT*)
  - Combinação de convoluções locais + atenção global.
  - Inductive bias de CNN ajuda em datasets menores.

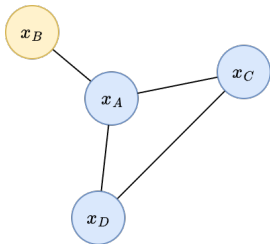
# Table of Contents

## 8 Graph Attention

- ▶ Motivação e Histórico
- ▶ Transformers
- ▶ Embeddings & Interpretações
- ▶ Treino & Hiperparâmetros
- ▶ Séries Temporais
- ▶ Language Models
- ▶ Vision Transformer
- ▶ **Graph Attention**
- ▶ Referências Bibliográficas

# Motivação: Graph Neural Networks

## 8 Graph Attention



- Cada nó possui um vetor de características  $x_i$  e um valor  $y_i$  a ser predito.

### Rede Neural Simples

$$h_i = f(x_i W^T + b_i)$$

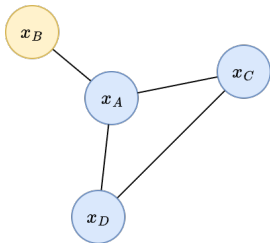
### Graph Neural Network

$$h_i = f \left( x_i W^T + \sum_{j \in \mathcal{N}_i} x_j W^T \right)$$

- Agrega as features dos vizinhos de  $i$  ( $\mathcal{N}_i$ )
- Graph Convolutional Networks (GCNs) normalizam os pesos pelo grau dos nós.

# Graph Attention Network [7]

## 8 Graph Attention



- Pondera cada vizinho com peso de atenção  $\alpha_{i,j}$ .
- Pode usar multi-head attention.

### Graph Attention Networks (GATs)

$$h_i = f \left( x_i W^T + \sum_{j \in \mathcal{N}_i} \alpha_{i,j} x_j W^T \right)$$

$$\alpha_{i,j} = \text{softmax}_j(e_{i,j})$$

$$e_{i,j} = \text{LeakyRelu}(a_{i,j})$$

$$a_{i,j} = W_{\text{att}}^T [W x_i, W x_j]$$

# Graph Attention Network [7]

## 8 Graph Attention

Table 2: Summary of results in terms of classification accuracies, for Cora, Citeseer and Pubmed. GCN-64\* corresponds to the best GCN result computing 64 hidden features (using ReLU or ELU).

<i>Transductive</i>			
Method	Cora	Citeseer	Pubmed
MLP	55.1%	46.5%	71.4%
ManiReg (Belkin et al., 2006)	59.5%	60.1%	70.7%
SemiEmb (Weston et al., 2012)	59.0%	59.6%	71.7%
LP (Zhu et al., 2003)	68.0%	45.3%	63.0%
DeepWalk (Perozzi et al., 2014)	67.2%	43.2%	65.3%
ICA (Lu & Getoor, 2003)	75.1%	69.1%	73.9%
Planetoid (Yang et al., 2016)	75.7%	64.7%	77.2%
Chebyshev (Defferrard et al., 2016)	81.2%	69.8%	74.4%
GCN (Kipf & Welling, 2017)	81.5%	70.3%	<b>79.0%</b>
MoNet (Monti et al., 2016)	81.7 $\pm$ 0.5%	—	78.8 $\pm$ 0.3%
GCN-64*	81.4 $\pm$ 0.5%	70.9 $\pm$ 0.5%	<b>79.0 <math>\pm</math> 0.3%</b>
<b>GAT (ours)</b>	<b>83.0 <math>\pm</math> 0.7%</b>	<b>72.5 <math>\pm</math> 0.7%</b>	<b>79.0 <math>\pm</math> 0.3%</b>

## Evoluções de GATs

- **GATv2** [8]: atenção dinâmica (mais expressiva).
- **TGAT** [9]: Aprendizado de representação para grafos temporais

# Table of Contents

## 9 Referências Bibliográficas

- ▶ Motivação e Histórico
- ▶ Transformers
- ▶ Embeddings & Interpretações
- ▶ Treino & Hiperparâmetros
- ▶ Séries Temporais
- ▶ Language Models
- ▶ Vision Transformer
- ▶ Graph Attention
- ▶ **Referências Bibliográficas**

## Referências Bibliográficas

### 9 Referências Bibliográficas

- [1] D. Bahdanau, K. Cho, and Y. Bengio, “Neural machine translation by jointly learning to align and translate,” *arXiv preprint arXiv:1409.0473*, 2014.
- [2] M.-T. Luong, H. Pham, and C. D. Manning, “Effective approaches to attention-based neural machine translation,” in *Proceedings of the 2015 Conference on Empirical Methods in Natural Language Processing (EMNLP)*, pp. 1412–1421, 2015.
- [3] S. Gu and Y. Zhuang, “Method for solving constrained 0-1 quadratic programming problems based on pointer network and reinforcement learning,” *Neural Computing and Applications*, vol. 35, 2022.

## Referências Bibliográficas

### 9 Referências Bibliográficas

- [4] A. Vaswani, N. Shazeer, N. Parmar, J. Uszkoreit, L. Jones, A. N. Gomez, L. Kaiser, and I. Polosukhin, "Attention is all you need," in *Advances in Neural Information Processing Systems*, vol. 30, 2017.
- [5] J. Kaplan, S. McCandlish, T. Henighan, T. B. Brown, B. Chess, R. Child, S. Gray, A. Radford, J. Wu, and D. Amodei, "Scaling laws for neural language models," *arXiv preprint arXiv:2001.08361*, 2020.
- [6] J. Hoffmann, S. Borgeaud, A. Mensch, E. Buchatskaya, T. Cai, E. Rutherford, D. d. L. Casas, L. A. Hendricks, J. Welbl, A. Clark, T. Hennigan, J. Noland, K. Millican, G. v. d. Driessche, B. Damoc, A. Guy, S. Osindero, K. Simonyan, E. Elsen, J. W. Rae, O. Vinyals, and L. Sifre, "Training compute-optimal large language models," *arXiv preprint arXiv:2203.15556*, 2022.



## Referências Bibliográficas

### 9 Referências Bibliográficas

- [7] P. Velickovic, G. Cucurull, A. Casanova, A. Romero, P. Liò, and Y. Bengio, “Graph attention networks,” in *6th International Conference on Learning Representations, ICLR 2018, Vancouver, BC, Canada, April 30 - May 3, 2018, Conference Track Proceedings*, OpenReview.net, 2018.
- [8] S. Brody, U. Alon, and E. Yahav, “How attentive are graph attention networks?,” in *The Tenth International Conference on Learning Representations, ICLR 2022, Virtual Event, April 25-29, 2022*, OpenReview.net, 2022.
- [9] D. Xu, C. Ruan, E. Körpeoglu, S. Kumar, and K. Achan, “Inductive representation learning on temporal graphs,” *ArXiv*, vol. abs/2002.07962, 2020.